

УДК 539.3

## СОСРЕДОТОЧЕННАЯ СИЛА ВБЛИЗИ ВЕРШИНЫ МЕЖФАЗНОЙ ТРЕЩИНЫ С ЖЁСТКОЙ НАКЛАДКОЙ НА ЕЁ БЕРЕГУ

Ю. О. Васильева, В. В. Сильвестров

<sup>1</sup> Чувашский государственный университет им. И. Н. Ульянова, 428015, Чебоксары, Московский пр., 65.<sup>2</sup> Российский государственный университет нефти и газа им. И. М. Губкина, 199991, Москва, Ленинский пр., 65.

E-mails: shydaisy@mail.ru, v-silvestrov@yandex.ru

*Изучается плоское напряжённое состояние вблизи вершины межфазной трещины, порождённое заданной сосредоточенной силой. Один из берегов трещины частично усилен жёсткой прямолинейной накладкой. Находятся комплексные потенциалы, коэффициенты интенсивности напряжений в вершине трещины, приводятся их графики.*

**Ключевые слова:** трещина, жёсткая накладка, сосредоточенная сила, кусочно-однородная упругая плоскость, напряжения, коэффициенты интенсивности напряжений, гипергеометрическая функция.

Пусть в кусочно-однородном упругом изотропном теле, составленном из разных по упругим свойствам верхней и нижней полуплоскостей, на линии раздела сред  $y = 0$  расположена полубесконечная открытая трещина  $[0, +\infty)$ , верхний берег которой на участке  $[0, l]$  подкреплён абсолютно жесткой прямолинейной накладкой, присоединённой к телу без натяга, а остальная часть этого берега и весь нижний берег трещины свободны от напряжений:

$$\begin{aligned} u^+(x) + iv^+(x) = i\varepsilon x, \quad x \in (0, l); \quad \tau_{xy}^+(x) + i\sigma_y^+(x) = 0, \quad x \in (l, +\infty); \\ \tau_{xy}^-(x) + i\sigma_y^-(x) = 0, \quad x \in (0, +\infty), \end{aligned}$$

где  $u + iv$  — вектор смещений,  $\tau_{xy} + i\sigma_y$  — вектор напряжений,  $\varepsilon$  — неизвестный угол поворота накладки, а верхними индексами плюс и минус помечены значения функций на верхнем и нижнем берегах трещины. Вдоль луча  $(-\infty, 0]$  полуплоскости жёстко соединены друг с другом, и в точке  $x = x_0$  ( $x_0 < 0$ ) действует сосредоточенная сила  $X_0 + iY_0$ . На бесконечности напряжения и вращение исчезают. На накладку никакие внешние силы не действуют.

*Требуется найти комплексные потенциалы, описывающие плоское напряжённое состояние тела, и исследовать поведение напряжений вблизи вершины трещины.*

Воспользуемся формулами Колосова—Мусхелишвили для кусочно-одно-

---

Юлия Олеговна Васильева, аспирант, каф. математического анализа и дифференциальных уравнений. Василий Васильевич Сильвестров (д.ф.-м.н.), профессор, каф. высшей математики.

родной плоскости [1]:

$$\begin{aligned} \sigma_x + \sigma_y &= 4\operatorname{Re} \Phi_*(z), \quad z = x + iy, \\ \sigma_y - iT_{xy} &= \Phi_*(z) + \Omega_*(z) + (z - \bar{z})\overline{\Phi'_*(z)}, \\ 2\mu_j(u + iv)'_x &= \kappa_j\Phi_*(z) - \Omega_*(z) - (z - \bar{z})\overline{\Phi'_*(z)}, \end{aligned} \quad (1)$$

$$\Phi_*(z) = \begin{cases} \Phi(z), & \operatorname{Im}z > 0, \\ \alpha_1\Phi(z) + \alpha_2\Omega(z), & \operatorname{Im}z < 0, \end{cases} \quad \Omega_*(z) = \begin{cases} \Omega(z), & \operatorname{Im}z > 0, \\ \alpha_3\Omega(z) + \alpha_4\Phi(z), & \operatorname{Im}z < 0, \end{cases}$$

$$\alpha_1 = (1 + \mu_*\kappa_1)/(1 + \kappa_2), \quad \alpha_2 = (1 - \mu_*)/(1 + \kappa_2), \quad \alpha_3 = 1 - \alpha_2, \quad \alpha_4 = 1 - \alpha_1, \\ \mu_* = \mu_2/\mu_1, \quad \kappa_j = (3 - \nu_j)/(1 + \nu_j), \quad j = 1, 2,$$

где  $\Phi(z)$ ,  $\Omega(z)$  – кусочно-голоморфные функции (комплексные потенциалы) с линией разрыва  $[0, +\infty)$ , а  $\mu_1, \nu_1$  и  $\mu_2, \nu_2$  – модули сдвига и коэффициенты Пуассона верхней ( $j = 1$ ) и нижней ( $j = 2$ ) полуплоскостей соответственно. В точках  $z = 0$  и  $z = l \pm i0$  функции  $\Phi(z)$ ,  $\Omega(z)$  могут иметь интегрируемые особенности, на  $\infty$  они исчезают, а в точке  $z = x_0$  имеют простые полюсы с вычетами  $P_1 = -(X_0 + iY_0)/[2\pi(1 + \mu_*\kappa_1)]$  и  $P_2 = \kappa_2(X_0 + iY_0)/[2\pi(\mu_* + \kappa_2)]$  соответственно [2]. На луче  $(0, +\infty)$  функции  $\Phi(z)$ ,  $\Omega(z)$  удовлетворяют краевым условиям

$$\begin{aligned} \kappa_1\Phi^+(x) - \Omega^-(x) &= 2i\mu_1\varepsilon, \quad x \in (0, l); \\ \Phi^+(x) + \Omega^-(x) &= 0, \quad x \in (l, +\infty); \\ \alpha_1\Phi^-(x) + \alpha_2\Omega^-(x) + \alpha_3\Omega^+(x) + \alpha_4\Phi^+(x) &= 0, \quad x \in (0, +\infty), \end{aligned} \quad (2)$$

откуда находим [3]:

$$\begin{aligned} \Phi(z) &= H_1(z/l), \quad \Omega(z) = H_2(z/l); \\ H_j(\zeta) &= [A_0 + C_2(\zeta - t_0)^{-1} + \varepsilon\mu_1 J_2(\zeta)]\chi_{j1}(\zeta) + [C_1(\zeta - t_0)^{-1} + \varepsilon\mu_1 J_1(\zeta)]\chi_{j2}(\zeta), \\ A_0 &= -\frac{X_0 + iY_0}{2\pi l c_3(\alpha_1 + \alpha_3)}, \quad C_j = (-1)^j \frac{P_1\chi_{2j}(t_0) - P_2\chi_{1j}(t_0)}{l \det X^+(t_0)}, \quad t_0 = x_0/l, \\ J_j(\zeta) &= \frac{(-1)^j}{\kappa_1\pi} \int_0^1 \frac{\chi_{2j}^+(t) + \alpha_4\alpha_3^{-1}\chi_{1j}^+(t)}{(t - \zeta) \det X^+(t)} dt, \quad j = 1, 2, \end{aligned}$$

$$\begin{aligned} \varepsilon\mu_1 &= -\left( \int_0^1 t \operatorname{Re} [(A_0 + C_2(t - t_0)^{-1})\chi_{11}^+(t) + C_1(t - t_0)^{-1}\chi_{12}^+(t)] dt \right) \times \\ &\quad \times \left( \int_0^1 t \operatorname{Re} [\chi_{11}^+(t)J_2(t) + \chi_{12}^+(t)J_1(t)] dt \right)^{-1}, \end{aligned}$$

$$\begin{aligned} c_3 &= \frac{c_1\xi_2 e^{i\pi a} \Gamma(c)\Gamma(b-a)}{\Gamma(c-a)\Gamma(b)} + \frac{c_2\xi_1 e^{i\pi(a+1-c)} \Gamma(2-c)\Gamma(b-a)}{\Gamma(b+1-c)\Gamma(1-a)}, \\ c_1 &= \frac{(1 - \xi_1)\Gamma(2-c)e^{-i\pi c}}{\Gamma(a+1-c)\Gamma(1-b)}, \quad c_2 = \frac{(1 - \xi_2)\Gamma(c)}{\Gamma(a)\Gamma(c-b)}, \end{aligned}$$

$$\xi_{1,2} = \frac{1}{2} \left( -\alpha \pm \sqrt{\alpha^2 - 4m\kappa_1^{-1}} \right), \quad \alpha = \frac{\alpha_2\kappa_1 + \alpha_4}{\alpha_3\kappa_1}, \quad m = \frac{\alpha_1}{\alpha_3},$$

$$a = 1 - \frac{\ln \xi_1}{2\pi i}, \quad b = \frac{3}{2} + \frac{1}{2\pi i} (\ln m - \ln \xi_1), \quad c = 1 + \frac{1}{2\pi i} (\ln \xi_2 - \ln \xi_1)$$

$$(0 < \arg \xi_1 \leq \pi, \quad \pi \leq \arg \xi_2 < 2\pi, \quad \operatorname{Im} \xi_1 \geq 0, \quad \operatorname{Im} \xi_2 \leq 0),$$

где  $\Gamma(\zeta)$  — гамма-функция Эйлера и  $\chi_{ij}(\zeta)$  — элементы канонической матрицы  $\mathbf{X}(\zeta)$  однородной векторной краевой задачи Римана (2) при  $l = 1$ . Для изучения напряжений вблизи вершины трещины  $z = 0$  достаточно знать выражение этой матрицы при  $\operatorname{Re} z < 1$ :

$$\mathbf{X}(\zeta) = \zeta^\lambda \begin{pmatrix} c_1 \xi_2 & c_2 \xi_1 \\ c_1 m & c_2 m \end{pmatrix} \begin{pmatrix} \eta_{11}(\zeta) & \eta_{12}(\zeta) \\ \eta_{21}(\zeta) & \eta_{22}(\zeta) \end{pmatrix}, \quad \lambda = -\frac{\ln \xi_1}{2\pi i},$$

$$\eta_{11}(\zeta) = F(a, b; c; \zeta), \quad \eta_{12}(\zeta) = a(1 - \zeta)F(a + 1, b; c; \zeta),$$

$$\eta_{21}(\zeta) = \zeta^{1-c}F(a - c + 1, b - c + 1; 2 - c; \zeta),$$

$$\eta_{22}(\zeta) = (a - c + 1)\zeta^{1-c}(1 - \zeta)F(a - c + 2, b - c + 1; 2 - c; \zeta)$$

при  $|\zeta| < 1, \zeta \notin [0, 1]$ ;

$$\eta_{11}(\zeta) = a_*(\zeta - 1)^{-a}F(a, c - b; c; \zeta_*),$$

$$\eta_{12}(\zeta) = aa_*(\zeta - 1)^{-a}F(a + 1, c - b; c; \zeta_*),$$

$$\eta_{21}(\zeta) = -c_*\zeta^{1-c}(\zeta - 1)^{c-a-1}F(a + 1 - c, 1 - b; 2 - c; \zeta_*),$$

$$\eta_{22}(\zeta) = (c - a - 1)c_*\zeta^{1-c}(\zeta - 1)^{c-a-1}F(a + 2 - c, 1 - b; 2 - c; \zeta_*),$$

$$a_* = e^{i\pi a}, \quad \zeta_* = \zeta/(\zeta - 1), \quad c_* = e^{i\pi(a-c)}$$

при  $\operatorname{Re} \zeta < 1/2, \zeta \notin [0, 1/2]$ .

Здесь  $F(a, b; c; \zeta)$  — гипергеометрическая функция Гаусса, а у многозначных функций  $\zeta^p$  и  $(\zeta - 1)^q$  берутся ветви, однозначные в плоскости с разрезами  $[0, +\infty)$  и  $[1, +\infty)$  соответственно, определяемые условиями  $0 < \arg \zeta < 2\pi$  и  $0 < \arg(\zeta - 1) < 2\pi$ .

Из приведённых формул и формул (1) следует, что вблизи точки  $z = 0$  на действительной отрицательной полуоси  $x < 0$  вектор напряжений  $\sigma_y - i\tau_{xy}$  имеет асимптотику

$$\sigma_y(x) - i\tau_{xy}(x) = \frac{K_{\text{I}} - iK_{\text{II}}}{\sqrt{2\pi}|x|^{\gamma_0 - i\delta_0}} + \frac{K_{\text{III}} - iK_{\text{IV}}}{\sqrt{2\pi}|x|^{1 - \gamma_0 - i\delta_0}} + \mathcal{O}(1), \quad x \rightarrow 0-0,$$

$$K_{\text{I}} - iK_{\text{II}} = \sqrt{2\pi}(\xi_1 + m)D_2e^{-i\pi(\gamma_0 - i\delta_0)},$$

$$K_{\text{III}} - iK_{\text{IV}} = \sqrt{2\pi}(\xi_2 + m)D_1e^{-i\pi(1 - \gamma_0 - i\delta_0)}, \quad \gamma_0 - i\delta_0 = \ln \xi_2/(2\pi i),$$

$$D_j = c_j[A_0 - C_2t_0^{-1} + \varepsilon\mu_1J_2(0) + (\lambda_j - 1)(C_1t_0^{-1} - \varepsilon\mu_1J_1(0))]l^{\lambda_j},$$

$$\lambda_j = (2\pi i)^{-1} \ln \xi_j, \quad j = 1, 2$$

в случае  $\gamma_0 \neq 1/2$  и асимптотику

$$\sigma_y(x) - i\tau_{xy}(x) = \frac{(K_{\text{I}} - iK_{\text{II}})|x|^{i\delta_2} + (K_{\text{III}} - iK_{\text{IV}})|x|^{i\delta_1}}{\sqrt{2\pi}|x|} + \mathcal{O}(1), \quad x \rightarrow 0-0,$$

$$K_{\text{I}} - iK_{\text{II}} = -\sqrt{2\pi}(\xi_1 + m)D_2e^{-\pi\delta_2},$$

$$K_{III} - iK_{IV} = -\sqrt{2\pi}(\xi_2 + m)D_1 e^{-\pi\delta_1}, \quad \delta_{1,2} = \ln |\xi_{1,2}|/(2\pi)$$

в случае  $\gamma_0 = 1/2$ . Таким образом, интенсивность напряжений вблизи точки  $z = 0$  в любом случае определяется четырьмя коэффициентами  $K_I, K_{II}, K_{III}, K_{IV}$ , и напряжения в вершине трещины всегда имеют как степенную, так и осциллирующую особенность. Для значений упругих параметров  $\kappa_1 = 1,8$ ,  $\kappa_2 = 2,2$  и  $\mu_* = 2$ , когда  $\gamma_0 = 0,79373$ , графики зависимости коэффициентов  $K_I, K_{II}, K_{III}, K_{IV}$  и угла поворота накладки  $\varepsilon$  от расстояния  $d = |x_0|$  между точкой приложения сосредоточенной силы и вершиной трещины и от направления  $\phi$  силы приведены на рис. 1–4. В первом случае сила  $X_0 + iY_0 = -P$  ( $P > 0$ ) постоянна и направлена вдоль действительной оси, а во втором случае сила  $X_0 + iY_0 = P(\cos \phi + i \sin \phi)$  составляет угол  $\phi$  с осью  $x$ ,  $x_0 = 0,2$ . В обоих случаях принято  $l = 1$ .

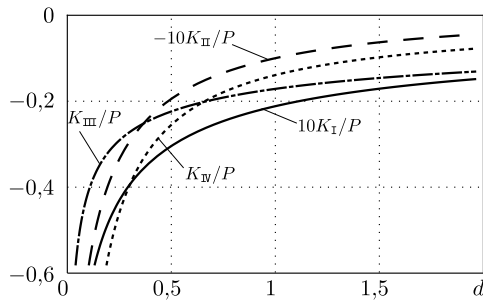


Рис. 1

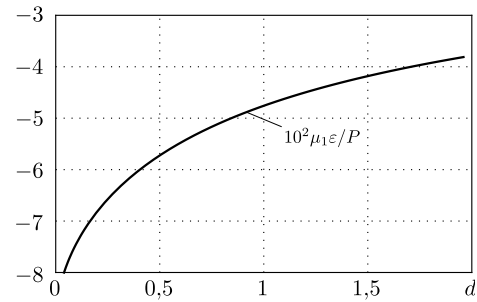


Рис. 2

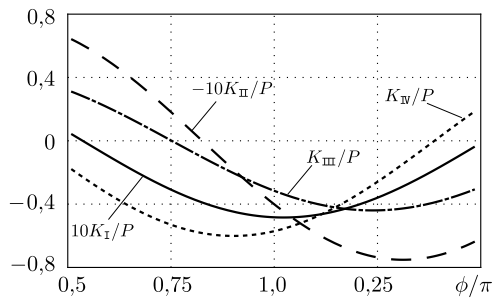


Рис. 3

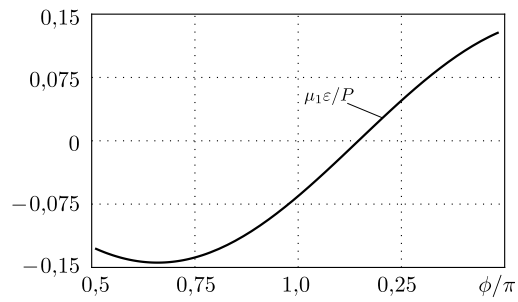


Рис. 4

Работа выполнена при поддержке РФФИ (проект № 10-01-00103).

#### БИБЛИОГРАФИЧЕСКИЙ СПИСОК

1. Черепанов Г. П. Механика разрушения композиционных материалов. М.: Наука, 1983. 296 с. [Cherepanov G. P. Fracture Mechanics of composite materials. Moscow: Nauka, 1983. 296 pp.]
2. Сильвестров В. В. Метод римановых поверхностей в задаче о межфазных трещинах и включениях при наличии сосредоточенных сил // Изв. вузов. Матем., 2004. № 7. С. 78–91; англ. пер.: Sil'vestrov V. V. The method of Riemann surfaces in the problem of interfacial cracks and inclusions in the presence of point forces. // Russian Math. (Iz. VUZ), 2004. Vol. 48, no. 7. Pp. 75–88.
3. Хвоцинская Л. А. К проблеме Римана в случае произвольного числа особых точек / В сб.: Краевые задачи, специальные функции и дробное исчисление: Труды международной конференции (16–20 февраля 1996 г.); ред. А. А. Килбас. Минск: Белорус.

ун-т, 1996. С. 377–382. [*Khvoshchinskaya L. A.* To the Riemann problem in the case of an arbitrary number of singular points/ In: *Boundary value problems, special functions and fractional calculus*: Proceedings of the International Conference (February 16–20, 1996); ed. A. A. Kilbas. Minsk: Belorus. Un-t, 1996. Pp. 377–382].

Поступила в редакцию 27/I/2011;  
в окончательном варианте — 14/III/2011.

MSC: 74B05; 74Rxx, 33Cxx

## CONCENTRATED FORCE ACTING NEAR THE TIP OF AN INTERFACE CRACK WITH A RIGID OVERLAY ON ITS SIDE

*Yu. O. Vasilyeva, V. V. Silvestrov*

<sup>1</sup> Ulyanov Chuvash State University,  
65, Moskovskiy pr., Cheboksary, 428015, Russia.

<sup>2</sup> Gubkin Russian State University of Oil and Gas,  
65, Leninskiy pr., Moscow, 199991, Russia.

E-mails: shydaisy@mail.ru, v-silvestrov@yandex.ru

*Plane stress state near the tip of an interface crack induced by specified concentrated force is considered. One of the crack faces is partially reinforced by a rigid straight line overlay. The complex potentials, the stress intensity factors at the crack-tip are found, corresponding plots are presented.*

**Key words:** *crack, rigid overlay, concentrated force, piecewise-homogeneous elastic plane, stresses, stress intensity factors, hypergeometric function.*

Original article submitted 27/I/2011;  
revision submitted 14/III/2011.

---

*Yulia O. Vasilyeva*, Postgraduate Student, Dept. of Mathematical Analysis & Differential Equations. *Vasily V. Silvestrov* (Dr. Sci. (Phys. & Math.)), Professor, Dept. of Higher Mathematics.